

砕波時の波動エネルギーに関する研究

名古屋工業大学 正員 喜岡 歩 学生員 Omo 徹 俊夫 学生員 沢木 俊彦

1. はじめに 砕波時の波については、砕波高、砕波水深とい、砕波特性諸量について72年用上十分な知見が得られているものの、その内部機構についてはまだ明らかにしていない点が残されている。砕波時の波動エネルギーEについては、Longuet-Higginsらにより最大波高のEとほぼ一致しないことが示されており、安田<sup>1)</sup>は斜面上の周期波について位置エネルギーEpは砕波直前で最大となり、運動エネルギーEkは逆に砕波直後で極大とすることを示した。また、土屋・筒井<sup>2)</sup>はEp, Ekのエネルギー分配率と砕波条件の関係について興味ある結果を示している。本研究では、著者ら<sup>3)</sup>が浅海の水平床での砕波変形α計算について用いた数値シミュレーションによ、ポテンシャル理論の数値的厳密解に基づき砕波時の各エネルギーを具体的に求めるとともに、その特性について若干の検討を加えるものである。

2. 解析方法 ここで用いた数値シミュレーションによは砕波変形過程における自由表面各点の水位ηと液体境界に沿う速度ポテンシャルφと、その法線方向の流速を求めたことが出来る。したが、2. 位置エネルギー(は式(1)より、運動エネルギー(は式(2)よりただちに求められる。

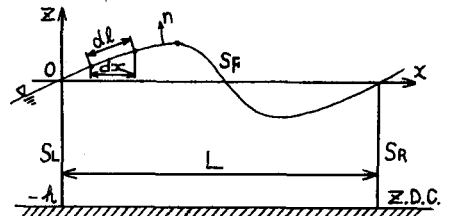


図-1 座標系

$$E_p = \frac{\rho g}{2L} \int_{SL}^{SR} \eta^2 dx \dots (1) \quad E_k = \frac{\rho}{2L} \int_{SF} \phi \frac{\partial \phi}{\partial n} dx \dots (2)$$

ただし、式(2)は空間的周期性を仮定できる場合は自由表面SFに沿、T線積分となり、不規則波群中のZ.D.C.波のようにその空間的周期性が仮定できない場合はSFおよび両端境界SR, SLに沿う線積分として求める。また、砕波直については計算波面波頂前面が鉛直に切り立、た点とし、Spilling型砕波の一部についてはその波頂付近が数値的に不安定となり、た点として求めた。

3. 相似波の計算結果 計算にあたり、ここでは波長はL=2πとしLg=1とした。図3-1, 2は相対水深d/L=0.05, 波高水深比H/dがそれぞれ図上から0.45, 0.73, 1.14と示したもので、横軸は微小振幅波理論から求めた周期Tで経過時刻tを無次元化したものである。

図3-1よりPlunging型E<sub>k</sub>/E<sub>p</sub>は砕波よりもE<sub>p</sub>の値が大きい時に、また早く砕波することからわかる。図3-2が図3-1のE<sub>k</sub>/E<sub>p</sub>の対数である。図から位置エネルギーは砕波直前から減少していき、逆に運動エネルギー

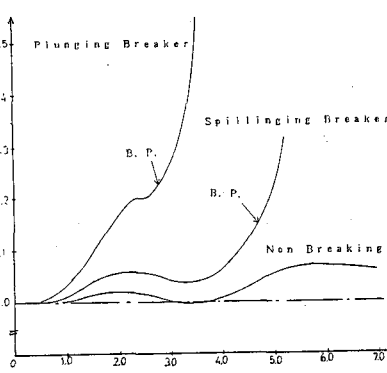


図3-1 Ek/E<sub>p</sub> ~ t/T 図

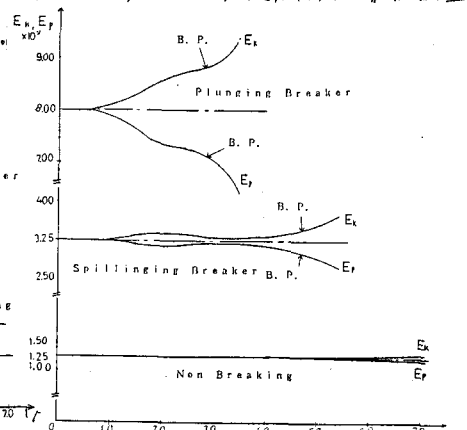


図3-2 Ek/E<sub>p</sub> ~ t/T 図

は増大していることからわかる。またPlunging型破波はSpilling型破波よりもエネルギー分配の変動が激しいといえる。図3-3は破波時の波形と相対水深 $d/L$ の関係を示したものである。

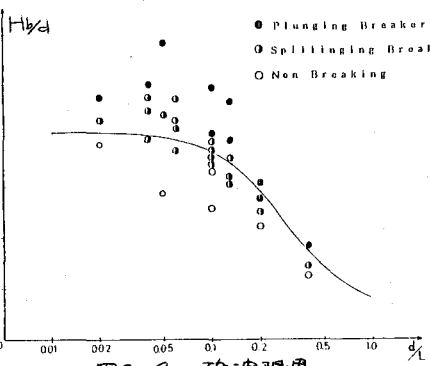


図3-1 破波限界

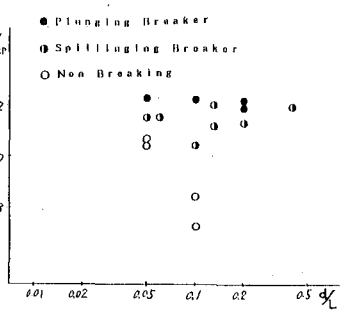


図3-3  $E_k/E_p \sim d/L$  図

ここで解析ケース

について波形が1.2を越える辺りからPlunging型破波になり、2.1を越える辺りからSpilling型破波になり、2.5を越える辺りからNon Breakingになる。破波しない限界として波形の値 $\pi/0.5$ 位と考えられるが、 $d/L=0.05$ のケースでは波形が小さく、 $d/L=0.05$ のケースでは波形が大きくなる。図3-4は山田・塩谷の最高波理論による破波限界と比較したもので図3-5は破波時の全エネルギーの値を示している。同図よりオベ

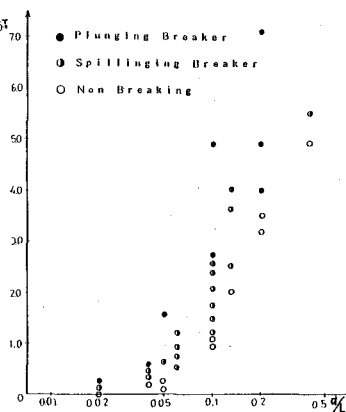


図3-5 破波時の $E_T$

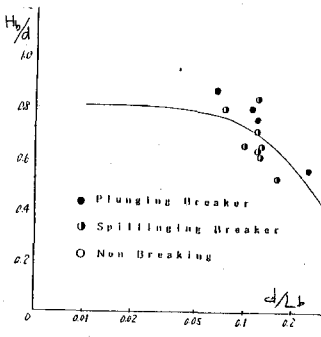


図4-1. 破波限界

の $d/L$ について破波高は最高波理論よりも小さく、また同一 $d/L$ について波形が大きい程変形の激しい破波を引き起こしていることからもわかる。

4. 不規則波の計算結果

不規則波について上述の規則波の結果と比較するために初期条件として成分合成波を用いて解析を行った。図4-1はE.D.C.法について山田・塩谷の理論値と照らしたものである。規則波と同様にその破波高理論値よりも小さい。図4-2はそれぞれE.D.C.法について全エネルギーを示したもので、規則波と同様に同一 $d/L$ では $E_p$ が大きい程Spilling型破波からPlunging型破波へ移ることからわかる。

図4-3はエネルギー分配率を示したもので、規則波のケースとは異なり、Spilling型破波がPlunging型破波よりも波形の値が大きいこともわかる。この理由は明らかではないが、成分波間のエネルギー移動によりその分配率も局所的に変化していると考え、便宜上波をE.D.C.法により定義したためと考えられる。今後、解析ケースを増やして不規則波の内部機構をさらに検討していくつもりである。

5. 参考文献

- 1) 山田孝志、野々村俊彦、余田上波の破波機構について、57年度中部支部
- 2) 土屋善人、高井技明、波のエネルギー分配と破波過程、才谷国海、57年度中部支部
- 3) 高田渉、角南安紀、和井正史、不規則波の破波特性に関する基礎的研究、58年度中部支部